

บทที่ 3

ผลการวิจัย

งานวิจัยนี้ทำการโคลนยีนไซแลเนสของ *Streptomyces* sp. PC22 ซึ่งเป็นจุลินทรีย์ที่แยกได้จากแหล่งดินในประเทศไทย จังหวัดประจวบคีรีขันธ์ ซึ่งสุมาลี กิ่งใจธรรม (2539) ได้ทำการแยกเชื้อและศึกษาสภาวะที่เหมาะสมต่อการผลิตเอนไซม์ พบว่าเมื่อเลี้ยงในอาหารเลี้ยงเชื้อที่มีองค์ประกอบและภายใต้สภาวะที่เหมาะสมคือ ที่อุณหภูมิ 45 องศาเซลเซียส สามารถสร้างไซแลเนสได้ 14.68 หน่วยต่อมิลลิลิตร ซึ่งอยู่ในเกณฑ์ที่สูงเมื่อเทียบกับรายงานอื่น ดังแสดงในตาราง 1.1 รวมทั้งมีสมบัติอยู่ในเกณฑ์ดี โดยมีความเสถียรต่อค่าความเป็นกรดต่างในช่วงกว้างคือ ตั้งแต่ 4.0 ถึง 9.0 และมีความเสถียรต่ออุณหภูมิถึง 65 องศาเซลเซียส สำหรับวิธีการโคลนยีนในงานวิจัยนี้ใช้เซลล์เจ้าบ้าน 2 ระบบควบคู่กันไปคือ *Streptomyces lividans* TK21 กับพลาสมิด pIJ699 และพลาสมิด pIJ702 และ *E. coli* DH5 α กับพลาสมิด pUC18

3.1 การโคลนยีนไซแลเนส โดยใช้เซลล์เจ้าบ้านเป็น *Streptomyces*

3.1.1 การหาแอกติวิตีของเอนไซม์ไซแลเนสในเซลล์เจ้าบ้าน

ในการโคลนยีนไซแลเนส เซลล์เจ้าบ้านที่เหมาะสมไม่ควรมีเอนไซม์นี้หรือมีในปริมาณที่ต่ำ ดังนั้นการใช้ *Streptomyces lividans* TK21 เป็นเซลล์เจ้าบ้านจึงต้องตรวจสอบระดับแอกติวิตีของเอนไซม์นี้เปรียบเทียบกับ *Streptomyces* sp. PC22 ตามวิธีที่กล่าวไว้ในบทที่ 2 ข้อ 2.13.2 ผลการทดลองดังแสดงในตารางที่ 3.1 โดยเลี้ยงที่ 30 องศาเซลเซียสซึ่งเป็นอุณหภูมิที่เหมาะสมสำหรับ *Streptomyces lividans* TK21 พบว่า *Streptomyces* sp. PC22 มีระดับไซแลเนสเท่ากับ 5.9 หน่วยต่อมิลลิลิตร ส่วน *Streptomyces lividans* TK21 มีระดับของเอนไซม์เท่ากับ 0.3 หน่วยต่อมิลลิลิตร ซึ่งต่ำกว่าสายพันธุ์ PC22 มาก ดังนั้นจึงใช้ *Streptomyces lividans* TK21 เป็นเซลล์เจ้าบ้านสำหรับการโคลนไซแลเนสยีนจาก *Streptomyces* sp. PC22 ได้

3.1.2 การสร้างและการรีเจเนอเรทโปรโตพลาสต์ของ *Streptomyces lividans* TK21

ในการโคลนยีนโดยใช้ระบบ

เซลล์เจ้าบ้านเป็น *Streptomyces* นั้น เซลล์เจ้าบ้านต้องอยู่ในรูปโปรโตพลาสต์ในขั้นตอนทรานสเฟอร์เมชัน ดังนั้นในขั้นต้นจึงต้องศึกษาประสิทธิภาพการสร้างและการรีเจเนอเรทโปรโตพลาสต์ของ *Streptomyces lividans* TK21

ผลการสร้างและการรีเจนเนอเรทโปรโตพลาสต์ตามวิธีที่กล่าวไว้ในบทที่ 2 ข้อ 2.5.2 ดังแสดงในตารางที่ 3.2 พบว่า โปรโตพลาสต์ที่เตรียมได้จาก *Streptomyces lividans* TK21 ที่อยู่ในช่วง mid log phase มีความเข้มข้น 1.58×10^9 โปรโตพลาสต์ต่อมิลลิลิตร มีลักษณะดังแสดงในรูปที่ 3.1 และสามารถรีเจนเนอเรทได้ ดังแสดงในรูปที่ 3.2 โดยความสามารถในการรีเจนเนอเรทของโปรโตพลาสต์ที่ได้คิดเป็นเปอร์เซ็นต์รีเจนเนอเรชันเท่ากับ 1.12

Hopwood และคณะ (1977) รายงานว่า โปรโตพลาสต์ของ *Streptomyces coelicolor* A3(2) สามารถรีเจนเนอเรทได้ 1-10% ซึ่งเมื่อเทียบกับโปรโตพลาสต์ของ *Streptomyces lividans* TK21 จากงานวิจัยนี้ จึงจัดว่าไม่ต่ำมากนัก จึงสามารถนำมาใช้เป็นเซลล์เจ้าบ้านในการโคลนยีนไครลเนสได้

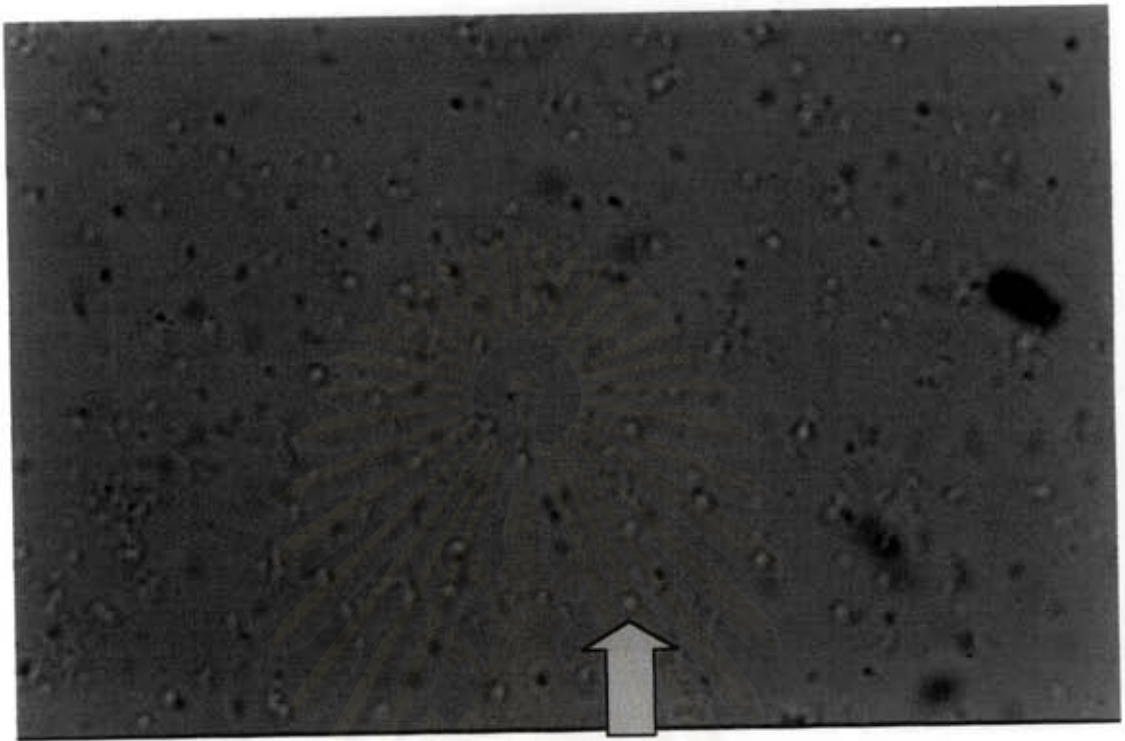
ตารางที่ 3.1 เปรียบเทียบแอกติวิตีของไครลเนสระหว่าง *Streptomyces* sp. PC22 กับ *Streptomyces lividans* TK21

สายพันธุ์	แอกติวิตีของไครลเนส (หน่วยต่อมิลลิลิตร)
<i>Streptomyces</i> sp. PC22	5.9
<i>Streptomyces lividans</i> TK21	0.3

หมายเหตุ เลี้ยงในอาหารเลี้ยงเชื้อสำหรับตรวจสอบแอกติวิตีของ สุ่มาลี อังใจธรรม (2539) (ภาคผนวก ก4) ที่อุณหภูมิ 30 องศาเซลเซียส เขย่าด้วยความเร็วรอบ 200 รอบต่อนาที เป็นเวลา 2 วัน

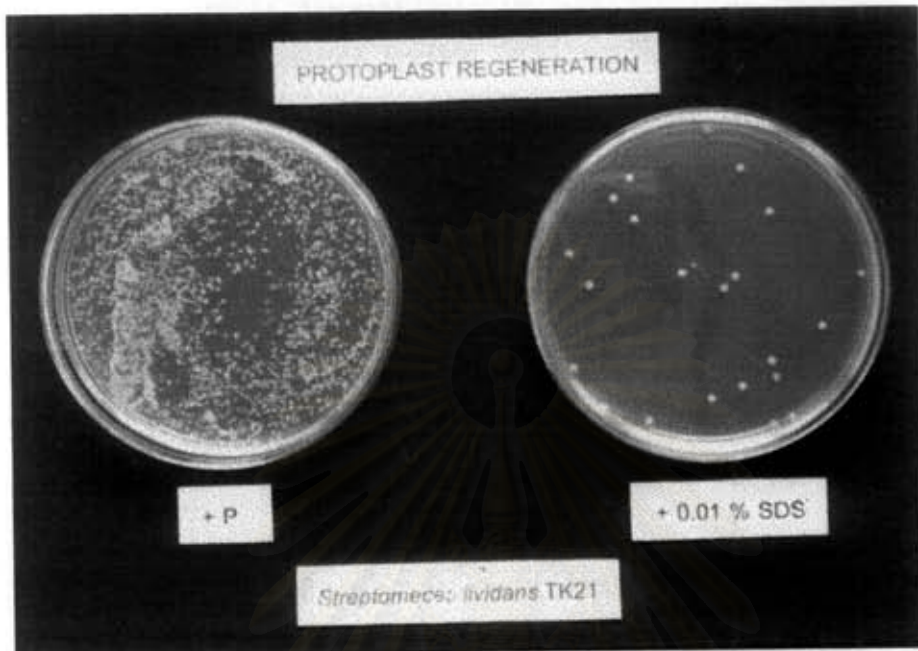
ตารางที่ 3.2 ผลการสร้างและการรีเจนเนอเรทโปรโตพลาสต์ของ *Streptomyces lividans* TK21

โปรโตพลาสต์/มล.	รีเจนเนอเรชันของโปรโตพลาสต์/มล.	% รีเจนเนอเรชัน
1.58×10^9	1.76×10^7	1.12



รูปที่ 3.1 ลักษณะโปรโตพลาสต์ของ *Streptomyces lividans* TK21 ภายใต้อกล้องจุลทรรศน์ phase contrast ทำด้วยขยาย 400 เท่า

สถาบันวิทยบริการ
จุฬาลงกรณ์มหาวิทยาลัย



รูปที่ 3.2 ผลการรีเจนเนอเรทโปรโตพลาสต์บนอาหารเลี้ยงเชื้อ R2YE โดยแขวนลอยในบัฟเฟอร์ P (P) เปรียบเทียบกับการแขวนลอยใน 0.01% SDS โดยเจือจาง 10^{-4} เท่า

สถาบันวิทยบริการ
จุฬาลงกรณ์มหาวิทยาลัย

3.1.3 ประสิทธิภาพในการทรานสฟอร์ม *Streptomyces lividans* TK21 ด้วยพลาสมิดพาหะ pIJ699 และ pIJ702

ได้ตรวจสอบประสิทธิภาพในการทรานสฟอร์มพลาสมิดพาหะ pIJ699 และ pIJ702 เข้าสู่ *Streptomyces lividans* TK21 ตามวิธีที่ระบุไว้ในบทที่ 2 ข้อ 2.12.1 ผลการทดลองแสดงดังตารางที่ 3.3 พบว่าพลาสมิดพาหะ pIJ699 ให้ประสิทธิภาพการทรานสฟอร์มเท่ากับ 2.6×10^4 ทรานสฟอร์มแมนท์ต่อไมโครกรัมของพลาสมิด และพลาสมิดพาหะ pIJ702 ให้ประสิทธิภาพการทรานสฟอร์มเท่ากับ 1.2×10^4 ทรานสฟอร์มแมนท์ต่อไมโครกรัมของพลาสมิด ซึ่งพบว่าประสิทธิภาพการทรานสฟอร์มด้วยพลาสมิดพาหะทั้ง 2 มีความใกล้เคียงกัน และมีประสิทธิภาพเพียงพอที่จะใช้เป็นพลาสมิดพาหะสำหรับการโคลนยีนได้ แต่ในการทรานสฟอร์มแต่ละครั้งจะต้องใช้ปริมาณดีเอ็นเอที่เข้มข้นสูง เพื่อให้ได้จำนวนทรานสฟอร์มแมนท์เพียงพอสำหรับการคัดเลือกโคลน

ตารางที่ 3.3 ประสิทธิภาพในการทรานสฟอร์มพลาสมิดพาหะ pIJ699 และ pIJ702 เข้าสู่ *Streptomyces lividans* TK21

ชนิดของพลาสมิดพาหะ	จำนวนทรานสฟอร์มแมนท์/ไมโครกรัมดีเอ็นเอ
pIJ699	2.6×10^4
pIJ702	1.2×10^4

3.1.4 การโคลนยีนไซแลนเนสจาก *Streptomyces* sp. PC22 เข้าสู่ *Streptomyces lividans* TK21 โดยใช้ pIJ699 และ pIJ702 เป็นพลาสมิดพาหะ

3.1.4.1 การเตรียมชิ้นส่วนโครโมโซมอลดีเอ็นเอขนาด 2-6 กิโลเบต ของ *Streptomyces* sp. PC22

จากรายงานการโคลนยีนไซแลนเนสใน *Streptomyces* sp. No. 36a เข้าสู่ *Streptomyces lividans* TK21 โดย Iwasaki และคณะ (1986) เมื่อทำการโคลนชิ้นส่วนย่อยของยีน พบว่าขนาดของดีเอ็นเอที่เป็นรหัสของไซแลนเนสมีความยาวประมาณ 1.04 กิโลเบต Mondou และคณะ (1986) ทำการโคลนยีนไซแลนเนสของ *Streptomyces lividans* 1326 เข้าสู่สายพันธุ์เดิมที่ผ่านการกลายพันธุ์ให้ไม่สามารถผลิตไซแลนเนสได้ พบว่าขนาดของยีนไซแลนเนสที่รวมเอายีนควบคุมไว้ด้วยมีความยาวประมาณ 2 กิโลเบต

ดังนั้นในการทดลองนี้จึงเลือกชิ้นส่วนโครโมโซมอลดีเอ็นเอของ *Streptomyces* sp. PC22 หลังจากการตัดด้วยเอนไซม์ *Sau3AI* ขนาด 2-6 กิโลเบส ซึ่งคาดว่าจะครอบคลุมยีนไซแลนเนสทั้งหมด และนำมาเชื่อมกับพลาสมิดพาหะ ซึ่งในการทดลองนี้จะใช้ชิ้นส่วนขนาด 5 กิโลเบส ของพลาสมิด pIJ699 ซึ่งมีขนาด 9.6 กิโลเบส และพลาสมิด pIJ702 ขนาด 5.8 กิโลเบส ตามลำดับ

ผลการย่อยโครโมโซมอลดีเอ็นเอของ *Streptomyces* sp. PC22 แบบกึ่งสมบูรณ์ด้วย *Sau3AI* ตามวิธีที่กล่าวไว้ในบทที่ 2 ข้อ 2.11.1 แสดงในรูปที่ 3.3 พบว่าช่องที่ 8 เป็นอัตราส่วนที่เหมาะสมระหว่างความเข้มข้นของดีเอ็นเอและเอนไซม์คือ ที่ความเข้มข้นของดีเอ็นเอ 1.8795 ไมโครกรัมต่อมิลลิลิตรต่อเอนไซม์ 0.15625 หน่วย เป็นการย่อยที่ให้ชิ้นส่วนขนาด 2-6 กิโลเบส ได้สูงสุด

จากผลการทดลองดังกล่าวนี้ได้อัตราส่วนระหว่างเอนไซม์ และดีเอ็นเอที่เหมาะสมซึ่งนำไปใช้เตรียมชิ้นส่วนขนาด 2-6 กิโลเบส ปริมาณมาก

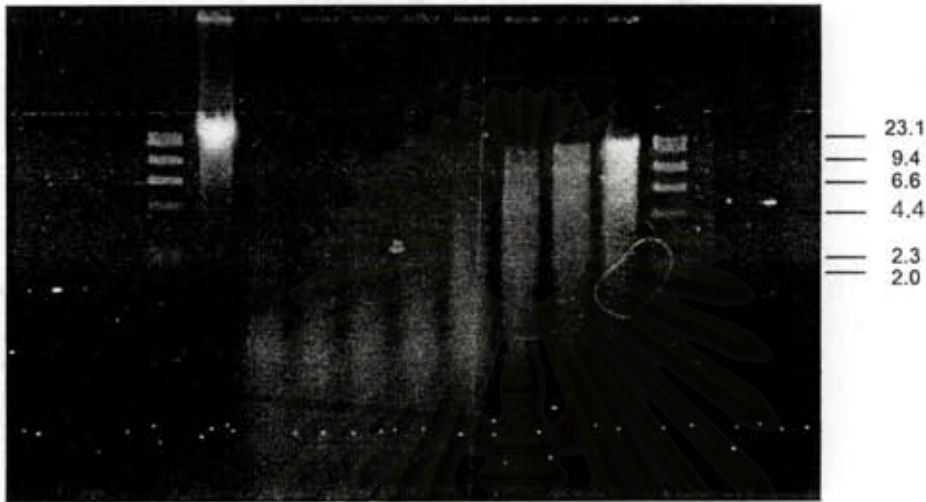
3.1.4.2 การตัดพลาสมิดพาหะ pIJ699 และ pIJ702 และการสร้างรีคอมบิแนนท์พลาสมิด

นำพลาสมิด pIJ699 ซึ่งเป็นพลาสมิดที่สร้างขึ้นให้เพิ่มจำนวนได้ ทั้งใน *E. coli* และ *Streptomyces* (Kieser and Melton, 1988) มาตัดด้วยเอนไซม์ *Bg/II* และ *BamHI* ดังรูปที่ 3.4 และตัดพลาสมิดพาหะ pIJ702 ด้วยเอนไซม์ *Bg/II* ดังรูปที่ 3.5 ตามวิธีที่กล่าวไว้ในบทที่ 2 ข้อ 2.11.2 สำหรับ pIJ699 นำชิ้นส่วนขนาด 5 กิโลเบส ซึ่งเป็นส่วนที่มีจุดเริ่มต้น (origin) ของ pIJ101 ซึ่งเป็นพลาสมิดของ *Streptomyces* มาใช้เป็นพาหะนำพลาสมิดทั้งสองมาทำจัดหมู่ฟอสเฟตที่ปลายทั้งสองด้วย Calf Intestine Alkaline Phosphatase (CIAP) แล้วทดสอบการเชื่อมตัวเองด้วยเอนไซม์ T4 DNA ligase พบว่าไม่สามารถเชื่อมตัวเองได้ ตามรูปที่ 3.6 ช่องที่ 3 และรูปที่ 3.7 ช่องที่ 3 โดยพลาสมิดทั้งคู่ยังคงอยู่ในรูปเส้น (linear form)

ส่วนรีคอมบิแนนท์พลาสมิดที่สร้างจากชิ้นส่วน 5 กิโลเบสของ pIJ699 มีขนาดประมาณมากกว่า 5-20 กิโลเบส ดังแสดงในรูปที่ 3.6 ช่องที่ 4 และรีคอมบิแนนท์พลาสมิดที่สร้างจาก pIJ702 มีขนาดอยู่ในช่วงประมาณ 6-20 กิโลเบส ดังรูปที่ 3.7B ช่องที่ 3

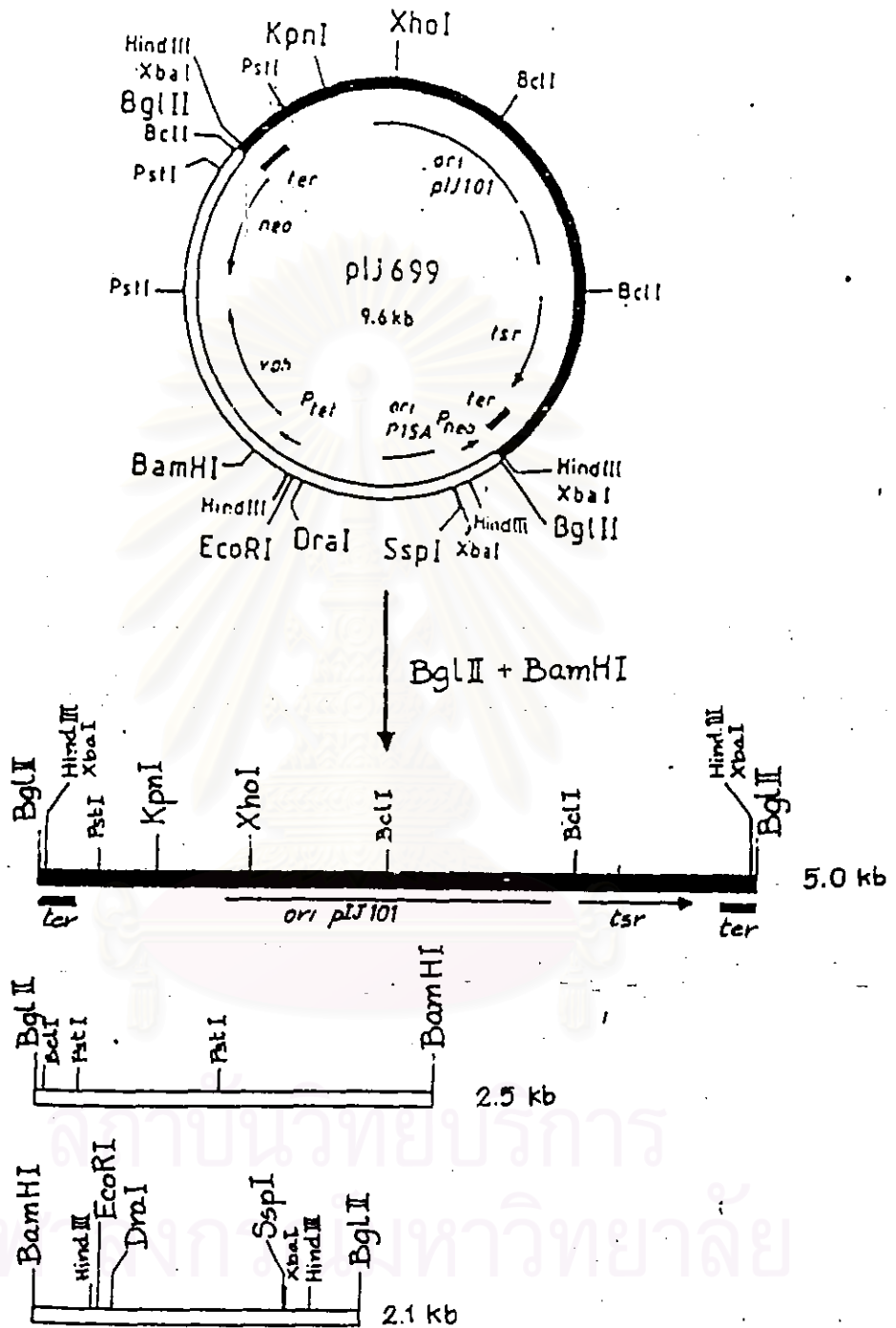
1 2 3 4 5 6 7 8 9 10 11

กิโลเบส



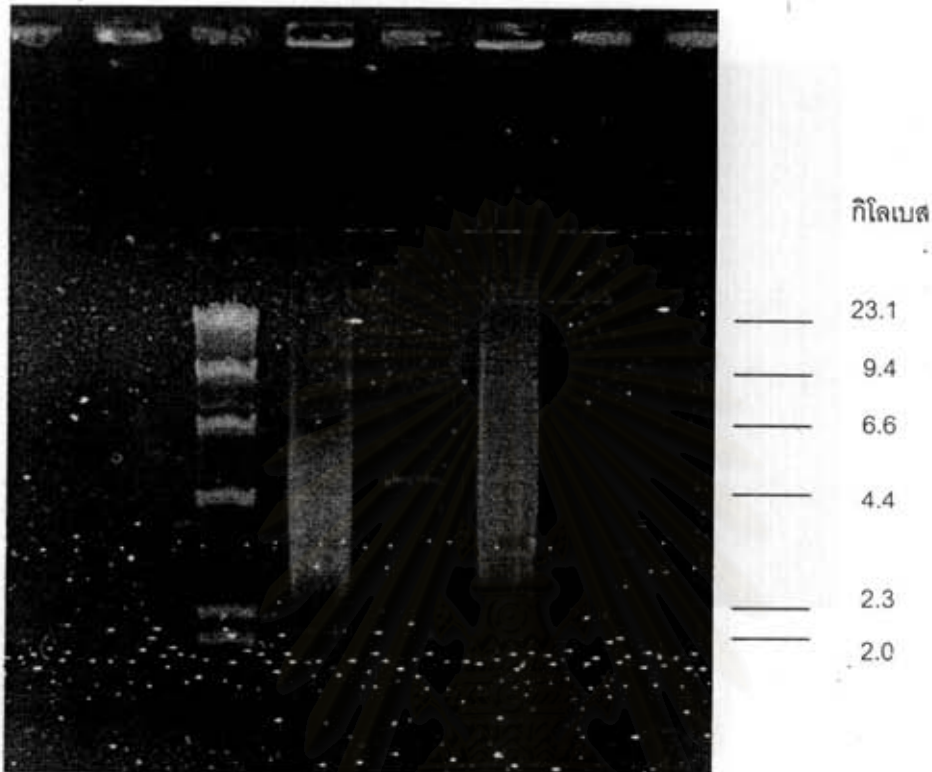
รูปที่ 3.3 ผลการย่อยโครโมโซมอลดีเอ็นเอของ *Streptomyces* sp. PC22 ด้วยเวกเตอร์ชิ้น เอนไซม์ *Sau3AI* แบบกึ่งสมบูรณ์ (partial digestion)

ช่องที่	1	λ DNA/ <i>Hind</i> III			
	2	โครโมโซมอลดีเอ็นเอของ <i>Streptomyces</i> sp. PC22			
	3	โครโมโซมอลดีเอ็นเอ 1.8795 ไมโครกรัมต่อเอนไซม์	5	หน่วย	
	4	โครโมโซมอลดีเอ็นเอ 1.8795 ไมโครกรัมต่อเอนไซม์	2.5	หน่วย	
	5	โครโมโซมอลดีเอ็นเอ 1.8795 ไมโครกรัมต่อเอนไซม์	1.25	หน่วย	
	6	โครโมโซมอลดีเอ็นเอ 1.8795 ไมโครกรัมต่อเอนไซม์	0.625	หน่วย	
	7	โครโมโซมอลดีเอ็นเอ 1.8795 ไมโครกรัมต่อเอนไซม์	0.3125	หน่วย	
	8	โครโมโซมอลดีเอ็นเอ 1.8795 ไมโครกรัมต่อเอนไซม์	0.15625	หน่วย	
	9	โครโมโซมอลดีเอ็นเอ 1.8795 ไมโครกรัมต่อเอนไซม์	0.078125	หน่วย	
	10	โครโมโซมอลดีเอ็นเอ 1.8795 ไมโครกรัมต่อเอนไซม์	0.0390625	หน่วย	
	11	λ DNA/ <i>Hind</i> III			



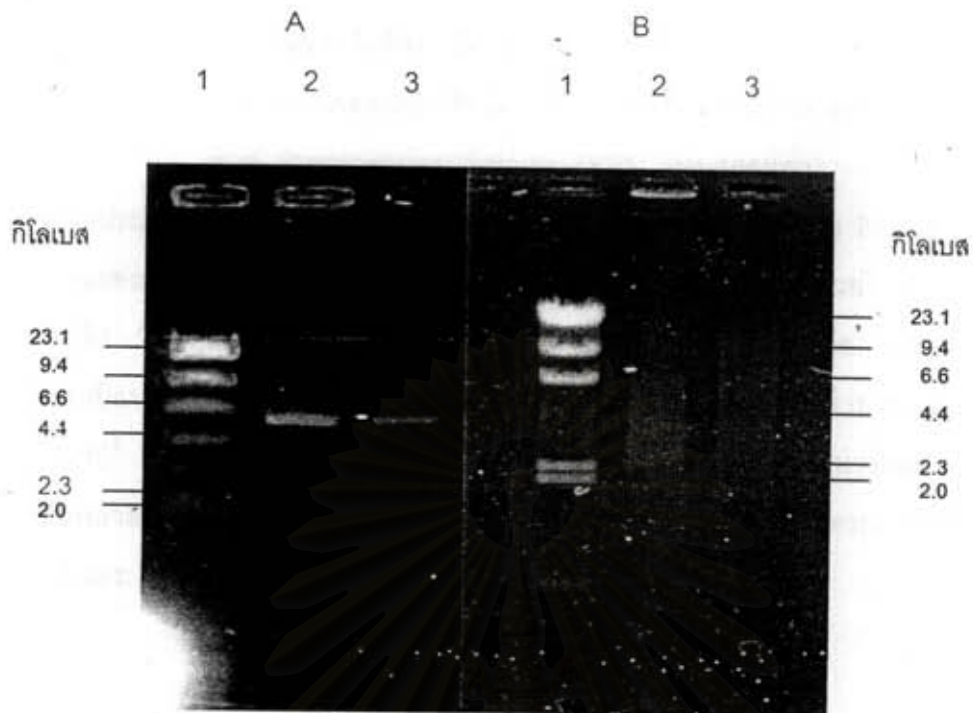
รูปที่ 3.4 แผนที่เรสตริกชันของพลาสมิดพานะ pIJ699 เมื่อถูกตัดด้วยเรสตริกชันเอนไซม์ BglII และ BamHI (Kieser and Melton, 1988)

1 2 3 4



รูปที่ 3.6 ภาพแสดงการเชื่อมตัวเองของชิ้นส่วนขนาด 5 กิโลเบสของ pIJ699 ซึ่งเป็นพลาสมิดพาหะ หลังการกำจัดหมู่ฟอสเฟตแล้ว และรีคอมบิแนนท์พลาสมิดระหว่างชิ้นส่วนโครโมโซมอลดีเอ็นเอกับพลาสมิดพาหะที่ผ่านการเชื่อมด้วย T4 DNA ligase บนอะกาโรสเจล

- | | | |
|---------|---|--|
| ช่องที่ | 1 | λ DNA/HindIII |
| | 2 | ชิ้นส่วนโครโมโซมอลดีเอ็นเอของ <i>Streptomyces</i> sp. PC22 ขนาด 2-6 กิโลเบส |
| | 3 | ชิ้นส่วน 5 กิโลเบสของ pIJ699 ที่ทดสอบความสามารถในการเชื่อมด้วย T4 DNA ligase หลังกำจัดหมู่ฟอสเฟตออกจากชิ้นส่วน 5 กิโลเบส ด้วย CIAP |
| | 4 | รีคอมบิแนนท์พลาสมิด |



รูปที่ 3.7 ภาพแสดงการเชื่อมตัวเองของพลาสมิดพาหะ pIJ702 ภายหลังจากการตัดด้วย *Bgl*II และกำจัดหมู่ฟอสเฟตแล้ว (A) และรีคอมบิแนนท์พลาสมิดระหว่างชิ้นส่วนโครโมโซมอลดีเอ็นเอกับ pIJ702 (B) ที่ผ่านการเชื่อมด้วย T4 DNA ligase บนอะกาโรสเจล

- A ช่องที่ 1 λ DNA/*Hind*III
 2 พลาสมิด pIJ702 ตัดด้วยเอนไซม์ *Bgl*II ที่กำจัดหมู่ฟอสเฟตด้วย CIAP
 3 พลาสมิด pIJ702 จากช่องที่ 2 เชื่อมด้วย T4 DNA ligase
- B ช่องที่ 1 λ DNA/*Hind*III
 2 ชิ้นส่วนโครโมโซมอลดีเอ็นเอของ *Streptomyces* sp. PC22 ขนาด 2-6 กิโลเบส
 3 รีคอมบิแนนท์พลาสมิด

3.1.5 การทรานสฟอร์มรีคอมบิแนนท์พลาสมิดเข้าสู่ *Streptomyces lividans* TK21

จากการทดสอบประสิทธิภาพในการทรานสฟอร์มพลาสมิด 2 ชนิดคือ pIJ699 และ pIJ702 เข้าสู่ *Streptomyces lividans* TK21 ดังแสดงผลการทดลองในตารางที่ 3.4 พบว่าประสิทธิภาพการทรานสฟอร์ม pIJ699 และ pIJ702 มีค่าเท่ากับ 2.6×10^4 และ 1.2×10^4 ทรานสฟอร์มแมนท์/ไมโครกรัมดีเอ็นเอ ตามลำดับ เมื่อทรานสฟอร์มด้วยรีคอมบิแนนท์พลาสมิด จากข้อ 3.1.4.2 ปรากฏว่าประสิทธิภาพของการทรานสฟอร์มลดลงคือ เมื่อทรานสฟอร์มด้วยรีคอมบิแนนท์พลาสมิดที่มีชิ้นส่วนของ pIJ699 เป็น พลาสมิดพาหะได้จำนวนทรานสฟอร์มแมนท์ 1.7×10^2 ต่อไมโครกรัมดีเอ็นเอ และเมื่อทรานสฟอร์มด้วยด้วยรีคอมบิแนนท์พลาสมิดที่มี pIJ702 เป็นพลาสมิดพาหะ ได้จำนวนทรานสฟอร์มแมนท์ 1.3×10^2 ต่อไมโครกรัมดีเอ็นเอ โดยลดลง 152 และ 92 เท่าตามลำดับ

ตารางที่ 3.4 ประสิทธิภาพในการทรานสฟอร์มพลาสมิดพาหะ pIJ699 และ pIJ702 เทียบกับรีคอมบิแนนท์พลาสมิดที่สร้างจากพลาสมิดพาหะทั้งสอง เข้าสู่โปรโตพลาสต์ของ *Streptomyces lividans* TK21

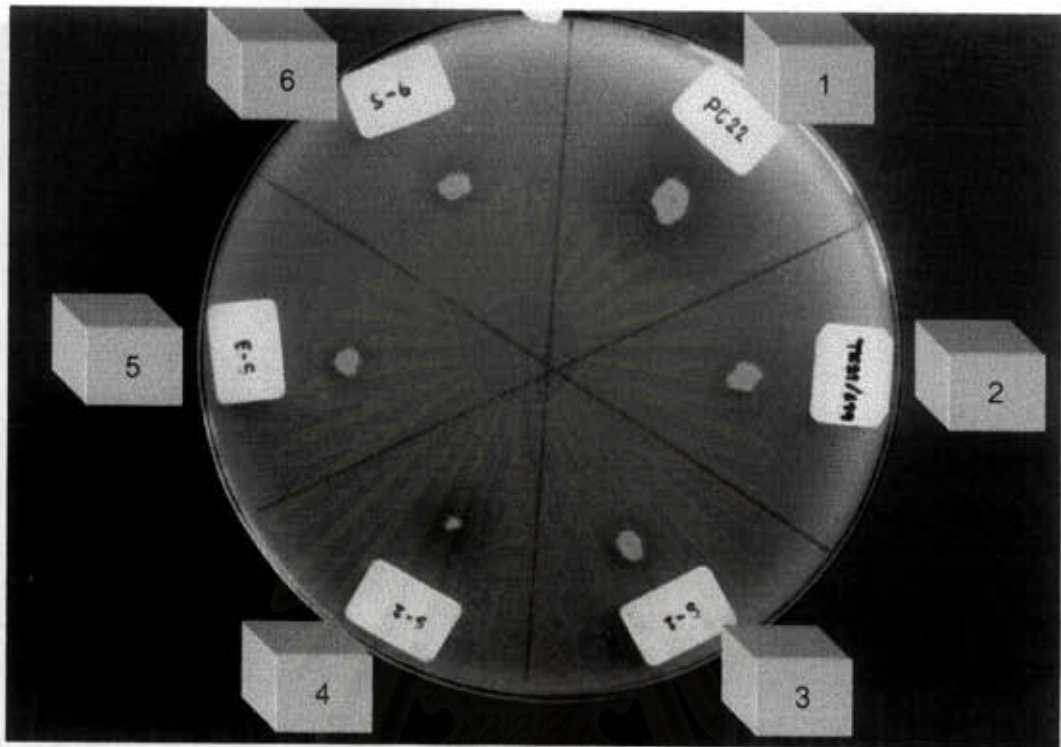
ชนิดของพลาสมิด	จำนวนทรานสฟอร์มแมนท์/ไมโครกรัมดีเอ็นเอ
pIJ699	2.6×10^4
pIJ702	1.2×10^4
รีคอมบิแนนท์พลาสมิดโดยใช้ชิ้นส่วน 5 กิโลเบส ของ pIJ699 เป็นพลาสมิดพาหะ	1.7×10^2
รีคอมบิแนนท์พลาสมิดโดยใช้ pIJ702 เป็นพลาสมิดพาหะ	1.3×10^2

3.1.6 การแสดงออกของไรแลเนสยีนในโคลนของ *Streptomyces lividans* TK21

3.1.6.1 รีคอมบิแนนท์พลาสมิดที่สร้างจากชิ้นส่วน 5 กิโลเบสของพลาสมิด pIJ699 และแสดงแอกติวิตีของไรแลเนส

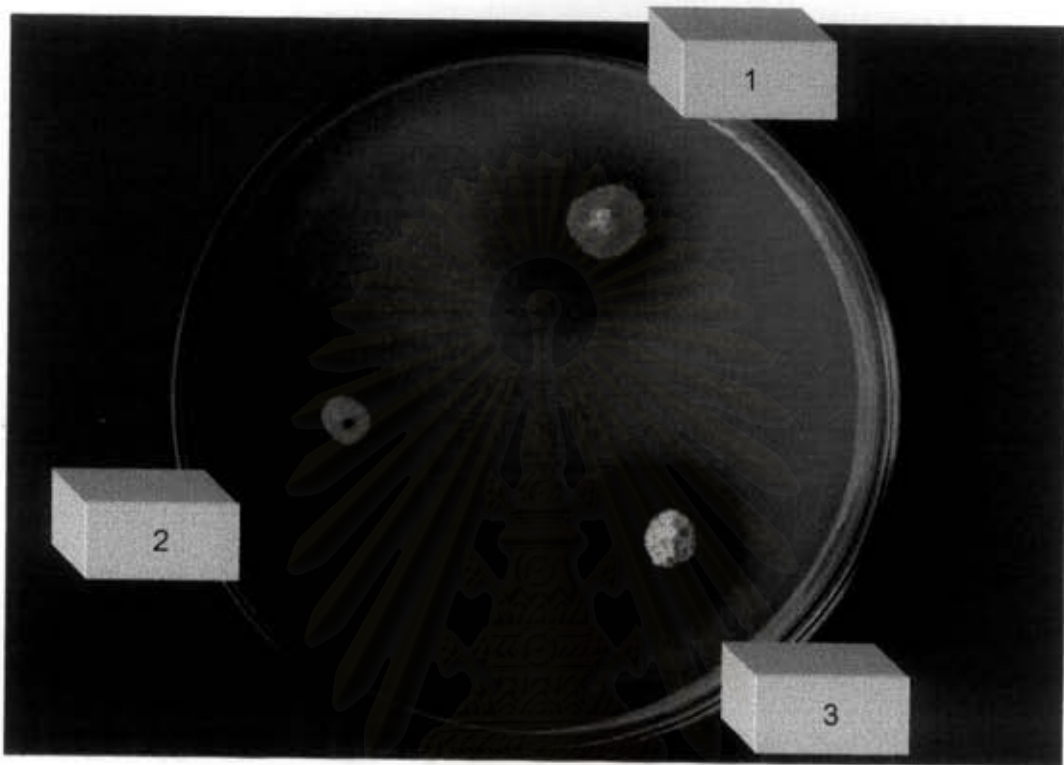
นำทรานสฟอร์มแมนท์ที่ได้จากการทรานสฟอร์มด้วยรีคอมบิแนนท์พลาสมิดที่สร้างจากชิ้นส่วน 5 กิโลเบสของ pIJ699 มาคัดเลือกโคลนที่ให้วงโคโรนาโคโลนีบนอาหารเลี้ยงเชื้อซึ่งมีไรแลเนสเป็นองค์ประกอบ พบว่าได้ 5 โคลน ตั้งชื่อโคลนว่า S-1, S-2, S-3, S-6 และ S-21 ดังแสดงในรูปที่ 3.8 และรูปที่ 3.9 เมื่อทำการสกัดรีคอมบิแนนท์พลาสมิดของแต่ละโคลนออกมา พบว่าทุกโคลนไม่สามารถตรวจพบพลาสมิด และเมื่อนำมาเลี้ยงซ้ำบนอาหารเลี้ยงเชื้อที่มีไรแลเนส พบว่าโคลน S-1, S-2, S-3 และ S-6 สูญเสียแอกติวิตีของไรแลเนสไป ส่วน S-21 ยังคงแสดงแอกติวิตีของไรแลเนส จึงนำมาเลี้ยงในอาหารเลี้ยงเชื้อเหลวที่มีไรแลเนสเป็นองค์ประกอบ ผลการทดลองในรูปที่ 3.10 และตารางที่ 3.4 พบว่าโคลน S-21 วัดแอกติวิตีของไรแลเนสได้ 1.21 หน่วยต่อมิลลิลิตร ซึ่งต่ำกว่าแอกติวิตีของ *Streptomyces* sp. PC22 คือ 5.75 หน่วยต่อมิลลิลิตร แต่เมื่อเปรียบเทียบกับ *Streptomyces lividans* TK21 ที่มีพลาสมิดพาหะ pIJ699 พบว่าโคลน S-21 มีแอกติวิตีของไรแลเนสสูงกว่า 2.42 เท่า ดังแสดงในตารางที่ 3.5 จึงคาดว่า S-21 น่าจะได้รับชิ้นยีนไรแลเนสเข้าไป แต่การตรวจไม่พบพลาสมิดจึงอาจเป็นไปได้ว่าเกิดการสอดแทรกของรีคอมบิแนนท์พลาสมิดเข้าไปในโครโมโซม ทั้งนี้เพราะโคลนที่สามารถทนต่อยาปฏิชีวนะไรโอสเตรพทอน ซึ่งเป็นสมบัติจากยีนเครื่องหมายบนพลาสมิด

สถาบันวิทยบริการ
จุฬาลงกรณ์มหาวิทยาลัย



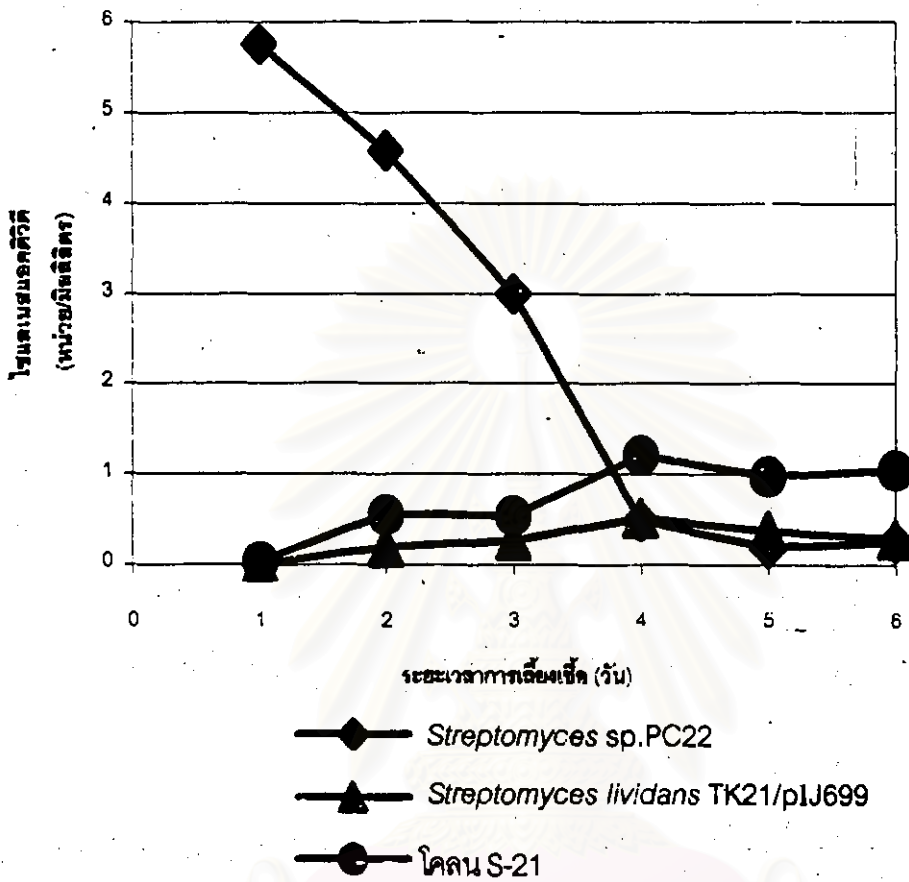
รูปที่ 3.8 ลักษณะวงโคโรนาโคโลนีของโคลอน S-1, S-2, S-3 และ S-6 เปรียบเทียบกับ *Streptomyces* sp. PC22 และ *Streptomyces lividans* TK21/ pIJ699 ที่เลี้ยงบนอาหารเลี้ยงเชื้อแข็งที่มีไซแลนเป็นองค์ประกอบ

- | | |
|---|---|
| 1 | <i>Streptomyces</i> sp. PC22 |
| 2 | <i>Streptomyces lividans</i> TK21/ pIJ699 |
| 3 | โคลอน S-1 |
| 4 | โคลอน S-2 |
| 5 | โคลอน S-3 |
| 6 | โคลอน S-6 |



รูปที่ 3.9 ลักษณะวงโคโรบโคโดนีของโคลน S-21 เปรียบเทียบกับ *Streptomyces* sp. PC22 และ *Streptomyces lividans* TK21/pIJ699 ที่เลี้ยงบนอาหารเลี้ยงเชื้อแข็งที่มีไซแลนเป็นองค์ประกอบ

- 1 *Streptomyces* sp. PC22
- 2 *Streptomyces lividans* TK21/pIJ699
- 3 โคลน S-21



รูปที่ 3.10 เปรียบเทียบรูปแบบการสร้างไซลแลนเนส โดยโคลน S-21 กับ *Streptomyces* sp. PC22 และ *Streptomyces lividans* TK21/pIJ699 ในอาหารเลี้ยงเชื้อเหลวที่มีไซลแลนเป็นองค์ประกอบ (ภาคผนวก ก4) เลี้ยงที่ 30 องศาเซลเซียส พร้อมทั้งเขย่าแบบ rotary ที่ความเร็วรอบ 200 รอบต่อนาที เป็นเวลา 1-6 วัน

ตารางที่ 3.5 เปรียบเทียบแอกติวิตีสูงสุดของไซแลเนสจากโคลน S-21 กับ *Streptomyces* sp. PC22 และ *Streptomyces lividans* TK21/pIJ699

สายพันธุ์	แอกติวิตีของไซแลเนส (หน่วยต่อมิลลิลิตร)
<i>Streptomyces</i> sp. PC22	5.75
<i>Streptomyces lividans</i> TK21/ pIJ699	0.50
S-21	1.21

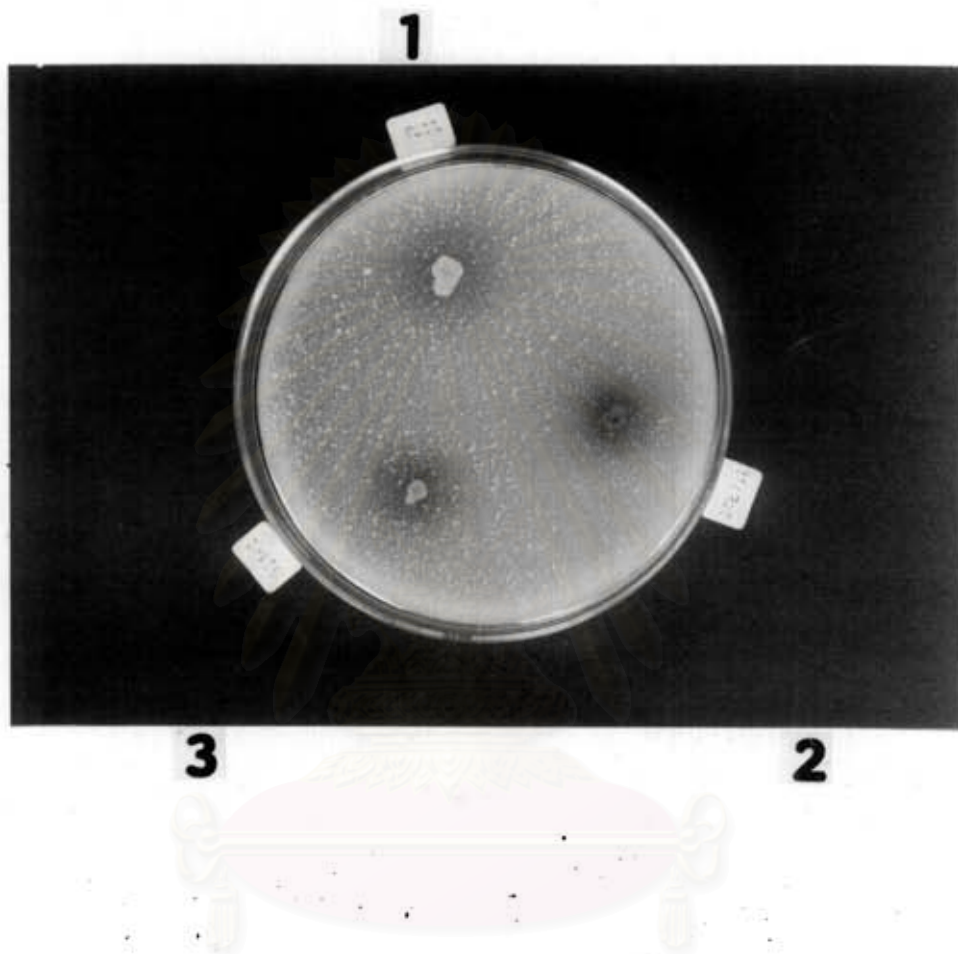
3.1.6.2 รีคอมบิแนนท์พลาสมิดที่สร้างจากพลาสมิด pIJ702 และแสดงแอกติวิตีของไซแลเนส

จากการคัดเลือกโคลนที่ให่วงไซรอบโคโลนิบนอาหารเลี้ยงเชื้อแข็งที่มีไซแลเนสเป็นองค์ประกอบ พบว่าได้ 1 โคลนให้ชื่อ S-22 ดังแสดงในรูปที่ 3.11 แต่เมื่อเลี้ยงเชื้อต่อไปพบว่า เชื้อเกิดสูญเสียแอกติวิตีของไซแลเนส และเมื่อนำมาสกัดรีคอมบิแนนท์พลาสมิดได้พลาสมิดซึ่งมีขนาดใกล้เคียงกับพลาสมิด pIJ702 ดังแสดงในรูป 3.12 ช่องที่ 2 จึงคาดว่าอาจสูญเสียดีเอ็นเอสอดแทรก (DNA insert) ที่มียีนไซแลเนส เนื่องจากเกิด รีคอมบิเนชันกับชิ้นยีนไซแลเนสบนโครโมโซมของ *Streptomyces lividans* TK21

3.1.6.3 การตรวจสอบขนาดของรีคอมบิแนนท์พลาสมิดที่สร้างจากรีนส่วนของพลาสมิด pIJ699 และพลาสมิด pIJ702 เมื่อ ทรานสฟอร์มเข้าสู่ *Streptomyces lividans* TK21

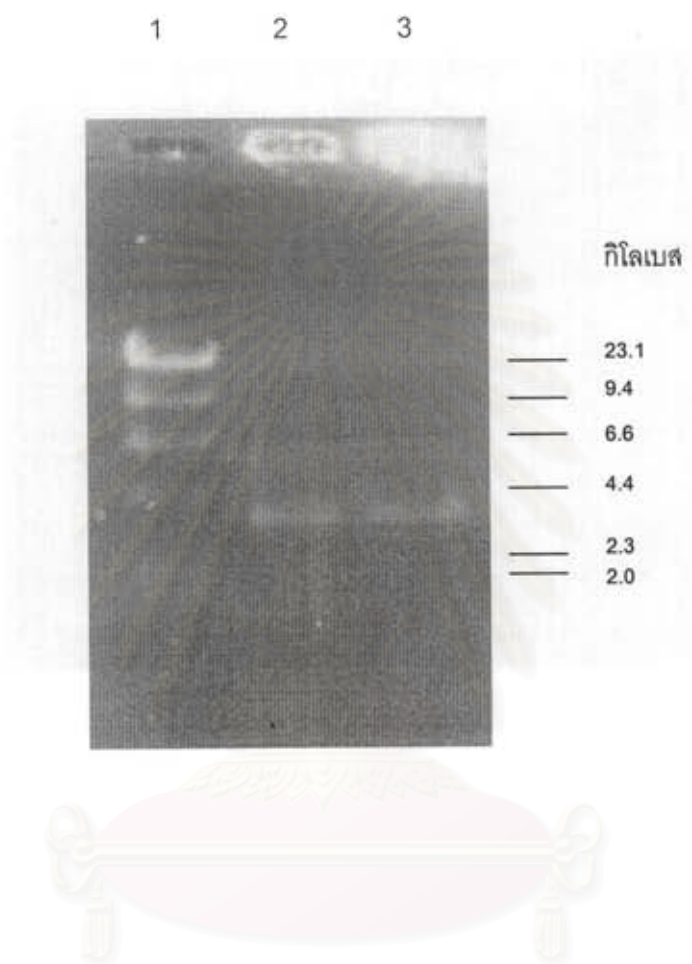
เนื่องจากผลของโคลนที่ได้ไม่สามารถสกัดแยกพลาสมิดได้ ดังการทดลองที่ 3.1.6.1 หรือรีคอมบิแนนท์พลาสมิดที่สกัดได้มีขนาดเท่ากับพลาสมิดที่ใช้เป็นพาหะ ดังการทดลองที่ 3.1.6.2 จึงได้ทำการตรวจสอบขนาดของรีคอมบิแนนท์พลาสมิดจากการสูมตัวอย่างทรานสฟอร์มแมนท์ของ *Streptomyces lividans* TK21 ที่ได้จากการทรานสฟอร์มด้วยรีคอมบิแนนท์ดีเอ็นเอที่สร้างจาก pIJ702 เป็นพลาสมิดพาหะ มาสกัดแยกและตรวจวิเคราะห์ขนาดของพลาสมิดเทียบกับพลาสมิดพาหะ พบว่าขนาดของรีคอมบิแนนท์พลาสมิดมีขนาด 4.3 กิโลเบส ซึ่งเล็กลงจากขนาดของ pIJ702 ซึ่งเดิมมีขนาด 5.8 กิโลเบส ดังแสดงในรูป 3.13

ผลการทดลองที่ได้จึงน่าจะยืนยันได้ว่าเกิด recombination และ deletion ระหว่างรีคอมบิแนนท์พลาสมิดกับโครโมโซมอลติเอ็นเอ ดังนั้น *Streptomyces lividans* TK21 จึงเป็นเซลล์เจ้าบ้านที่ไม่เหมาะสมที่จะนำมาใช้ในการโคลนยีนไซแลเนสจาก *Streptomyces* sp. PC22



รูปที่ 3.11 ลักษณะวงใสรอบโคโคนีของโคลน S-22 เปรียบเทียบกับ *Streptomyces* sp. PC22 และ *Streptomyces lividans* TK21/pIJ702 ที่เลี้ยงบนอาหารเลี้ยงเชื้อแข็งที่มีไครแลนเป็นองค์ประกอบ

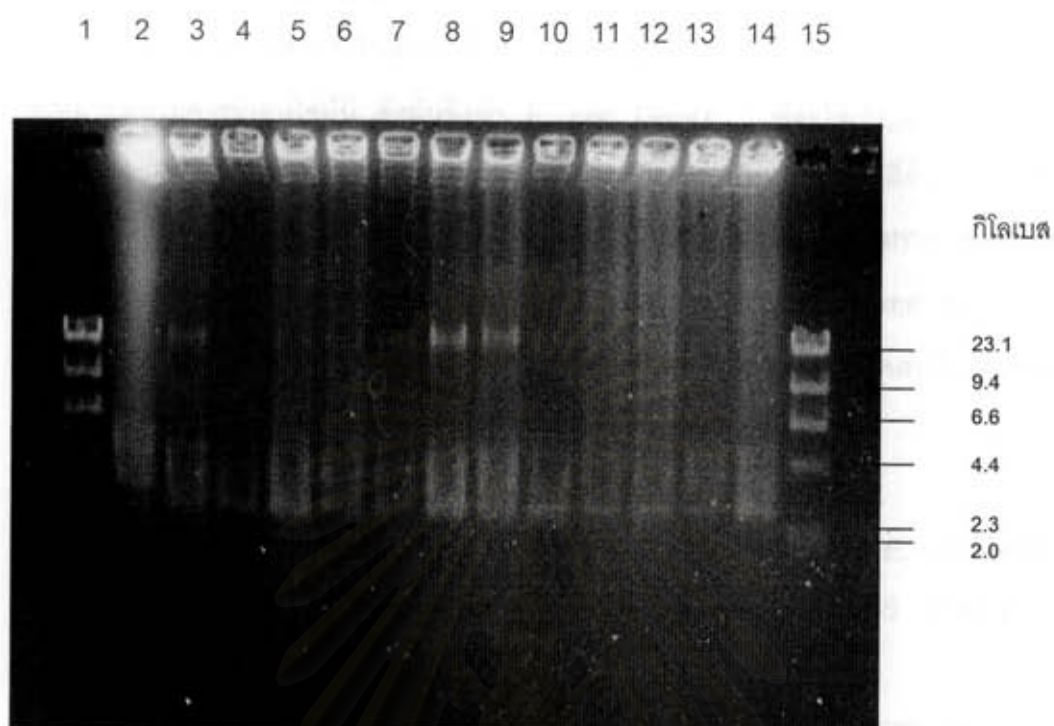
- 1 *Streptomyces* sp. PC 22
- 2 *Streptomyces lividans* TK21/pIJ702
- 3 โคลน S-22



รูปที่ 3.12

ภาพแสดงพลาสมิดที่สกัดได้จากโคลน S-22

- | | |
|-----------|--------------------------------|
| ช่องที่ 1 | λ DNA/ <i>Hind</i> III |
| ช่องที่ 2 | พลาสมิดที่สกัดได้จากโคลน S-22 |
| ช่องที่ 3 | pIJ702 |



รูปที่ 3.13 ภาพแสดงขนาดของพลาสมิดพาหะ pIJ702 และรีคอมบิแนนท์ดีเอ็นเอที่สร้างจาก pIJ702 เป็นพลาสมิดพาหะ หลังการทรานสฟอร์มเข้า *Streptomyces lividans* TK21

- | | | |
|---------|------|---|
| ช่องที่ | 1 | λ DNA/ <i>Hind</i> III |
| ช่องที่ | 2 | pIJ702 |
| ช่องที่ | 3-14 | recombinant DNA ที่มีพลาสมิดพาหะ pIJ702 |
| ช่องที่ | 15 | λ DNA/ <i>Hind</i> III |

3.2 การโคลนยีนไซแลเนสโดยใช้ *E. coli* DH5 α เชลล์เจ้าบ้าน

3.2.1 การหาแอกติวิตีจำเพาะของไซแลเนสในเชลล์เจ้าบ้าน

เช่นเดียวกับที่กล่าวมาแล้วข้างต้นว่าในการโคลนยีนไซแลเนสนั้น เชลล์เจ้าบ้านที่เหมาะสมไม่ควรมีเอนไซม์นี้ ดังนั้นจึงนำ *E. coli* DH5 α ที่จะใช้เป็นเชลล์เจ้าบ้านในการทดลองนี้ มาตรวจสอบแอกติวิตีของไซแลเนส โดยวิเคราะห์ในรูปแบบแอกติวิตีจำเพาะ เนื่องจาก *E. coli* เป็นแบคทีเรียแกรมลบไม่ปลดปล่อยเอนไซม์ออกมานอกเชลล์ ผลการวิเคราะห์ พบว่า *E. coli* DH5 α มีแอกติวิตีจำเพาะของไซแลเนสเท่ากับ 0.08 หน่วยต่อมิลลิกรัมโปรตีน ซึ่งมีระดับต่ำจึงสามารถใช้ *E. coli* DH5 α เป็นเชลล์เจ้าบ้านสำหรับการโคลนยีนไซแลเนสจาก *Streptomyces* sp. PC22 ได้

3.2.2 การโคลนยีนไซแลเนสจาก *Streptomyces* sp. PC22 เข้าสู่ *E. coli* DH5 α

3.2.2.1 การเตรียมชิ้นส่วนโครโมโซมอลดีเอ็นเอขนาด 1-5 กิโลเบต ของ *Streptomyces* sp. PC22

จากรายงานการโคลนยีนไซแลเนสใน *Streptomyces flavogriseus* โดย Srivastava (1991) เข้าสู่ *E. coli* ซึ่งเป็น lysogen ของ lambda cI857 สามารถคัดเลือกโคลนที่มีชิ้นยีนขนาด 0.8 กิโลเบต Bhalerao และคณะ (1990) โคลนยีนไซแลเนสจาก *Cellulomonas* sp. สายพันธุ์ NCIM2353 พบไซแลเนสยีนขนาด 1.42 กิโลเบต Lin และคณะ (1991) โคลนยีนไซแลเนสจาก *Butyrivibrio fibrisolvens* สายพันธุ์ H170 เข้าสู่ *E. coli* พบชิ้นดีเอ็นเอขนาด 3 กิโลเบต ที่มี open-reading frame ขนาด 1905 เบต

ดังนั้นในการทดลองนี้ จึงจะเลือกช่วงขนาดของชิ้นส่วนโครโมโซมอลดีเอ็นเอของ *Streptomyces* sp. PC22 หลังจากการตัดด้วยเรสทริกชันเอนไซม์ *Sau3AI* ขนาด 1-5 กิโลเบต ซึ่งคาดว่าจะครอบคลุมยีนไซแลเนสทั้งหมด และมีขนาดเล็กเหมาะสมที่จะนำมาเชื่อมกับพลาสมิดพาหะ pUC18 ที่มีขนาดเล็กเพียง 2.7 กิโลเบต

ผลการย่อยโครโมโซมอลดีเอ็นเอของ *Streptomyces* sp. PC22 แบบกึ่งสมบูรณ์ด้วย *Sau3 AI* ตามวิธีที่กล่าวในบทที่ 2 ข้อ 2.11.1 ดังแสดงในรูปที่ 3.3 พบว่าช่องที่ 7 เป็นอัตราส่วนที่เหมาะสมระหว่างความเข้มข้นของดีเอ็นเอและเอนไซม์คือ ที่ความเข้มข้นของดีเอ็นเอ 1.8795 ไมโครกรัมต่อเอนไซม์ 0.3125 หน่วย เป็นการย่อยที่ให้ชิ้นส่วนขนาด 1-5 กิโลเบตได้สูงสุด

จากผลการทดลองดังกล่าวข้างต้น จึงนำอัตราส่วนระหว่างเอนไซม์และดีเอ็นเอที่เหมาะสมนี้ไปเตรียมชิ้นส่วนขนาด 1-5 กิโลเบตปริมาณมาก

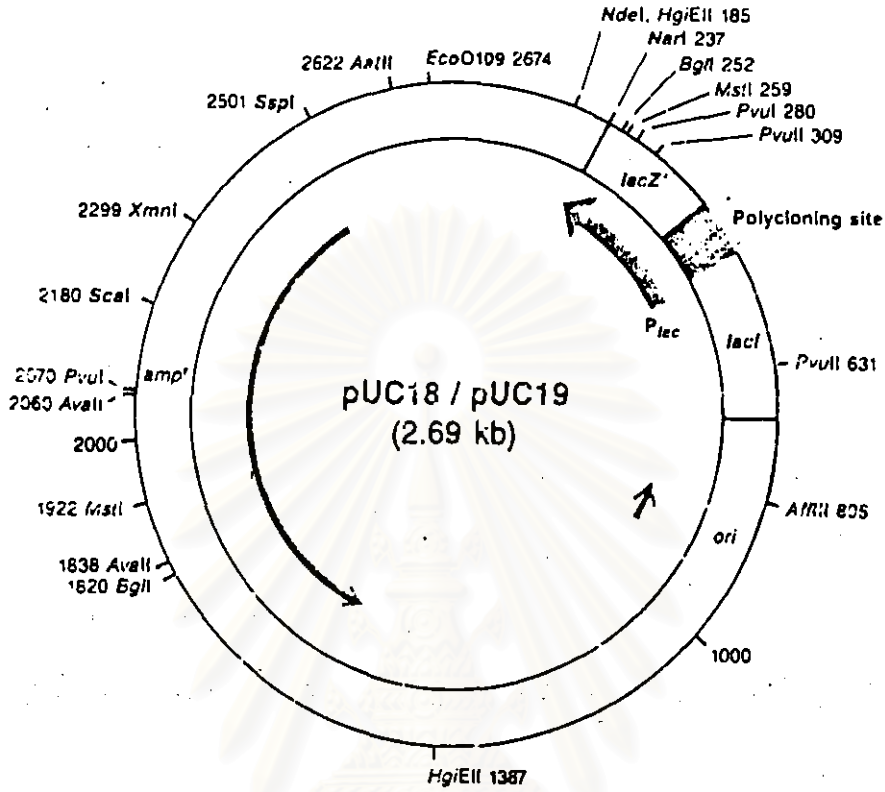
3.2.2.2 การตัดพลาสมิดพาหะ pUC18 และการสร้างรีคอมบิแนนท์พลาสมิด

นำพลาสมิด pUC18 ซึ่งแสดงแผนที่เรสทริกชันในรูปที่ 3.14 มาตัดด้วยเรสทริกชันเอนไซม์ *Bam*HI ตามวิธีที่กล่าวในบทที่ 2 ข้อ 2.11.2 หลังจากกำจัดหมู่ฟอสเฟตที่ปลายด้วย Calf Intestine Alkaline Phosphatase (CIAP) แล้วนำมาทดสอบการเชื่อมตัวเองด้วยเอนไซม์ T4 DNA ligase พบว่าไม่สามารถเชื่อมตัวเองได้ ตามรูปที่ 3.15 ช่องที่ 3 โดยพลาสมิดยังคงอยู่ในรูปเส้น (linear form)

เมื่อเชื่อมชิ้นส่วนโครโมโซมอดีเอ็นเอขนาด 1-5 กิโลเบสกับพลาสมิดพาหะ pUC18 ได้รีคอมบิแนนท์พลาสมิดที่มีขนาดประมาณ 4-20 กิโลเบส ดังแสดงในรูปที่ 3.15 ช่องที่ 5



สถาบันวิทยบริการ
จุฬาลงกรณ์มหาวิทยาลัย



Polycloning Sites

pUC18

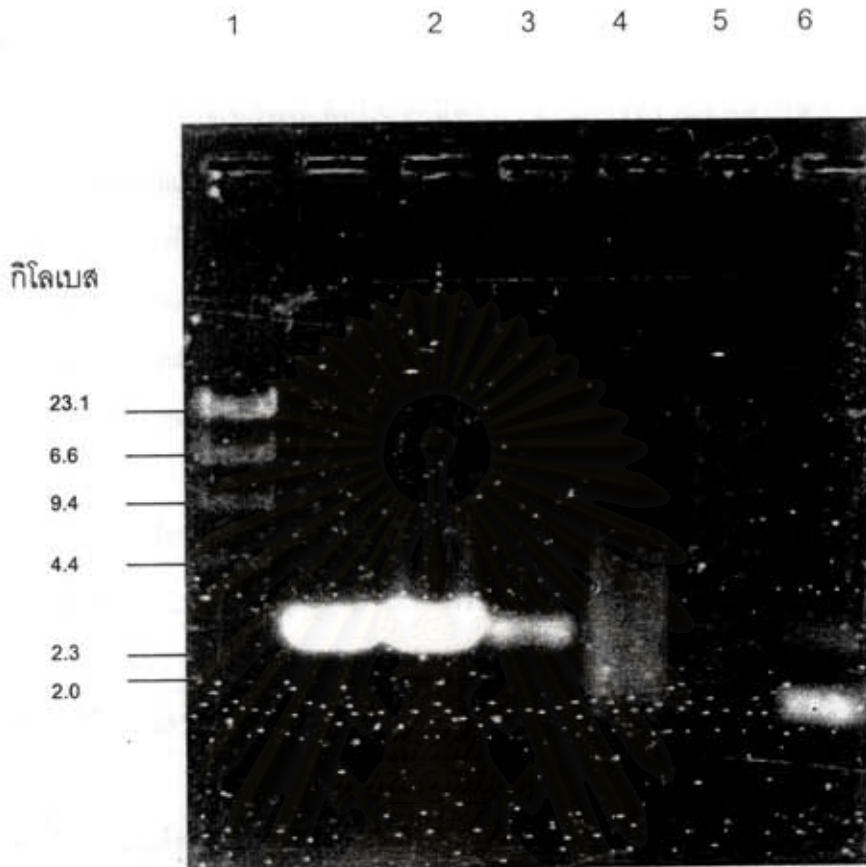
1	2	3	4	5	6	1	2	3	4	5	6	7	8	9	10	11	12	13	14	15	16	17	18	7	8	
Thr	Met	Ile	Thr	Asn	Ser	Ser	Ser	Val	Pro	Gly	Asp	Pro	Leu	Glu	Ser	Thr	Cys	Arg	His	Ala	Ser	Leu	Ala	Leu	Ala	
ATG	ACC	ATG	ATT	ACG	AAT	TCG	AGC	TCG	GTA	CCC	GGG	GAT	CCT	CTA	GAG	TCG	ACC	TGC	AGG	CAT	GCA	AGC	TTC	GCA	CTG	GCC
			EcoRI		SacI		KpnI		SmaI XmaI		SmaI		XbaI		SalI AccI HincII		PstI		SphI		HindIII					

pUC19

1	2	3	4	1	2	3	4	5	6	7	8	9	10	11	12	13	14	15	16	17	18	5	6	7	8	
Thr	Met	Ile	Thr	Pro	Ser	Leu	His	Ala	Cys	Arg	Ser	Thr	Leu	Glu	Asp	Pro	Arg	Val	Pro	Ser	Ser	Asn	Ser	Leu	Ala	
ATG	ACC	ATG	ATT	ACG	CCA	AGC	TTC	CAT	GCC	TGC	AGG	TCG	ACT	CTA	GAG	GAT	CCC	CGG	GTA	CCG	AGC	TCG	AA	TCA	CTG	GCC
			HindIII		SphI		PstI		SalI AccI HincII		XbaI		BamHI		SmaI XmaI		KpnI		SacI		EcoRI					

In pUC18, the EcoRI site lies immediately downstream from Piac.
In pUC19, the HindIII site lies immediately downstream from Piac.

รูปที่ 3.14 แผนที่เรดทริกซ์ของพลาสมิด pUC18 (Maniatis, et al., 1982)



รูปที่ 3.15 ภาพแสดงการตัดพลาสมิด pUC18 ด้วยเรสทริกชันเอนไซม์ *Bam*HI แล้วทดสอบการเชื่อมกันด้วยตัวเอง (self ligation) หลังจากกำจัดหมู่ฟอสเฟตและแสดงรีคอมบิแนนท์พลาสมิดที่ผ่านการเชื่อมด้วย T4 DNA ligase บนอะกาโรสเจล

- ช่องทางที่ 1 λ DNA/*Hind*III
- 2 พลาสมิด pUC18 ตัดด้วยเรสทริกชันเอนไซม์ *Bam*HI และ CIAP
- 3 พลาสมิด pUC18 เชื่อมตัวเองด้วยเอนไซม์ T4 DNA ligase
- 4 ชิ้นส่วนโครโมโซมอลดีเอ็นเอของ *Streptomyces* sp. PC22 ขนาด 1-5 กิโลเบส
- 5 รีคอมบิแนนท์พลาสมิดระหว่าง pUC18 จากช่องทางที่ 3 กับชิ้นส่วนโครโมโซมอลดีเอ็นเอ ช่องทางที่ 5
- 6 พลาสมิด pUC18

3.2.3 การเปรียบเทียบประสิทธิภาพการทรานสฟอร์มพลาสมิด pUC18 และ ริกอมบิแนนท์พลาสมิดเข้าสู่ *E. coli* DH5 α โดยวิธีอิเล็กโทรพอเรชัน

จากการเปรียบเทียบประสิทธิภาพในการทรานสฟอร์มพลาสมิดพาทะคือ pUC18 และริกอมบิแนนท์พลาสมิดที่เตรียมได้จากข้อ 3.2.2.2 เข้าสู่ *E. coli* DH5 α โดยวิธีอิเล็กโทรพอเรชัน ดังผลการทดลองในตารางที่ 3.6 พบว่า ประสิทธิภาพของการทรานสฟอร์มด้วย ริกอมบิแนนท์พลาสมิดต่ำกว่าการทรานสฟอร์มด้วยพลาสมิดพาทะประมาณ 40 เท่า อย่างไรก็ตามจำนวนทรานสฟอร์มแมนท์ที่ได้ต่อไมโครกรัมของดีเอ็นเอ ก็น่าจะสูงพอที่จะคัดเลือกโคลนที่ได้รับยีนที่ต้องการได้

ตารางที่ 3.6 เปรียบเทียบประสิทธิภาพการทรานสฟอร์มพลาสมิด pUC18 กับริกอมบิแนนท์พลาสมิดที่สร้างจาก pUC18 เข้าสู่ *E. coli* DH5 α โดยวิธีอิเล็กโทรพอเรชัน

ชนิดของพลาสมิด	จำนวนทรานสฟอร์มแมนท์ต่อไมโครกรัมดีเอ็นเอ
pUC18	1.5×10^7
ริกอมบิแนนท์พลาสมิดโดยใช้ pUC18 เป็นพลาสมิดพาทะ	4×10^5

3.2.4 การแสดงออกของไซแลนเนสในโคลนของ *E. coli* DH5 α

จากการคัดเลือกโคลนที่ให่วงไรรอบโคโลนีบนอาหารเลี้ยงเชื้อแข็ง LA ที่มีไซแลนเป็นองค์ประกอบ โดยวิธีวัดด้วย Congo red ตามวิธีที่ระบุไว้ในบทที่ 2 ข้อ 2.13.1.2 ดังรูปที่ 3.16 ได้ 1 โคลน ให้ชื่อว่าโคลน E-8 ซึ่งนำมาทดสอบแอกติวิตีของไซแลเนสซ้ำบนอาหารแข็ง ดังแสดงในรูปที่ 3.17 จากนั้นนำโคลน E-8 มาเลี้ยงในอาหารเลี้ยงเชื้อเหลวที่มีไซแลนเป็นองค์ประกอบ แล้วตรวจวิเคราะห์แอกติวิตีจำเพาะของไซแลเนสเปรียบเทียบกับเซลล์เจ้าบ้าน ผลการทดลองในตารางที่ 3.7 พบว่าโคลน E-8 มีแอกติวิตีจำเพาะของไซแลเนสเท่ากับ 0.25 หน่วยต่อมิลลิกรัมโปรตีน ขณะที่ *E. coli* DH5 α / pUC18 มีแอกติวิตีจำเพาะของไซแลเนส 0.08 หน่วยต่อมิลลิกรัมโปรตีน เมื่อเปรียบเทียบค่าที่ได้พบว่าโคลน E-8 มีแอกติวิตีจำเพาะของไซแลเนสสูงกว่าเซลล์เจ้าบ้านประมาณ 3 เท่า

3.2.5 การตรวจวิเคราะห์รีคอมบิแนนท์พลาสมิดจากโคลน E-8

ได้ทำการสกัดแยกรีคอมบิแนนท์พลาสมิดจากโคลน E-8 และให้ชื่อว่า pPC1 พบว่ามีขนาดใหญ่กว่าพลาสมิดพาหะ pUC18 ดังแสดงในรูปที่ 3.18

3.2.6 การวิเคราะห์ขนาดของพลาสมิด pPC1 และขนาดของดีเอ็นเอสอดแทรก

ผลการทดลองในรูปที่ 3.19 แสดงการนำพลาสมิด pPC1 มาตัด *Hind*III หรือ *Eco*RI พบว่าได้ดีเอ็นเอรูปเส้นมีขนาดเท่ากันคือ 4.6 กิโลเบส แสดงว่าชิ้นส่วนดีเอ็นเอสอดแทรก (DNA insert) ไม่มีบริเวณจุดจำของเอนไซม์ทั้งสองนี้ และเมื่อตัด pPC1 ด้วย *Hind*III ร่วมกับ *Eco*RI สามารถแยกชิ้นดีเอ็นเอสอดแทรกออกมาได้ โดยมีขนาดประมาณ 1.9 กิโลเบส

ดังนั้นจากการทดลองข้างต้นสรุปได้ว่า สามารถโคลนยีนไซแลเนสจาก *Streptomyces* sp. PC22 ได้ โดยใช้ *E.coli* DH5 α เป็นเซลล์เจ้าบ้าน และ pUC18 เป็นพลาสมิดพาหะ ยีนที่โคลนได้อยู่ในชิ้นดีเอ็นเอขนาดประมาณ 1.9 กิโลเบส และสามารถแสดงออกได้ใน *E.coli*



รูปที่ 3.16 แสดงการคัดเลือกโคลน *E.coli* DH5 α ที่ได้รับรีคอมบิแนนท์ดีเอ็นเอพลาสมิดที่มียีนไซแลนเนส เมื่อเลี้ยงบนอาหารแข็งแล้วผ่านการอบด้วยไฮคลอโรฟอร์ม แล้วราดทับด้วยไซแลนและย้อมด้วยสี Congo red



รูปที่ 3.17

แสดงโพลเนตแอดคิตีวี่ของโคลน E-8 ที่ทดสอบบนอาหารเลี้ยงเชื้อแข็ง

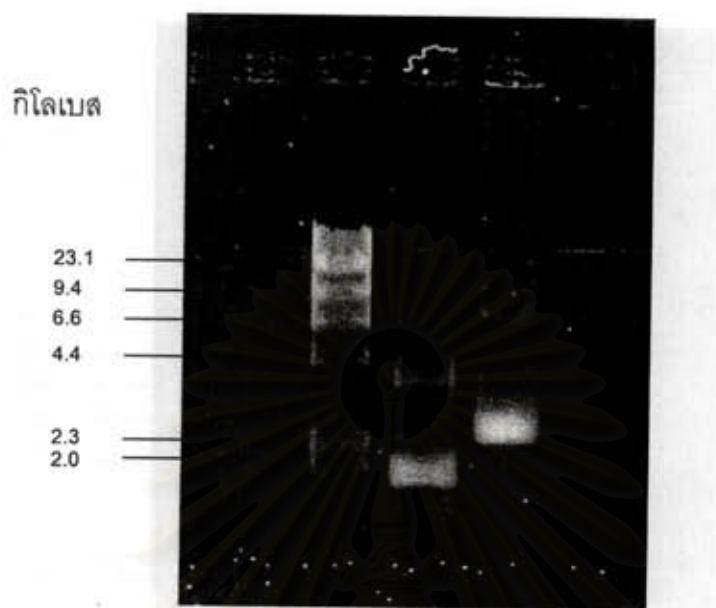
จุฬาลงกรณ์มหาวิทยาลัย

ตารางที่ 3.7 เปรียบเทียบแอกติวิตีจำเพาะของไซแลนต์จากโคลน E-8 กับ *E. coli* DH5 α /pUC18 ซึ่งเลี้ยงในอาหารเลี้ยงเชื้อเหลวที่มีไซแลนต์เป็นองค์ประกอบ โดยเขย่าแบบ rotary ที่ความเร็วรอบ 200 รอบต่อนาที ที่อุณหภูมิ 37 องศาเซลเซียส เป็นเวลา 24 ชั่วโมง

สายพันธุ์	แอกติวิตีของไซแลนต์ (หน่วยต่อมิลลิกรัมโปรตีน)
<i>E. coli</i> DH5 α /pUC18	0.08
E-8	0.25

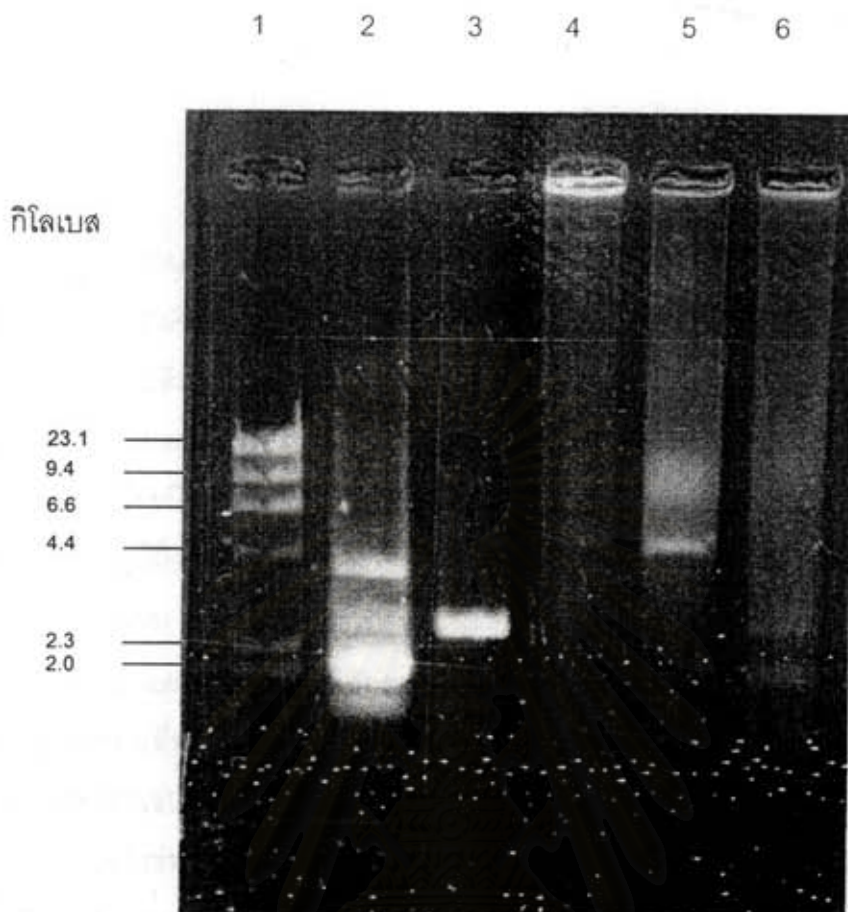
สถาบันวิทยบริการ
จุฬาลงกรณ์มหาวิทยาลัย

1 2 3



รูปที่ 3.18 ภาพแสดงขนาดของรีคอมบิแนนท์พลาสมิดจากโคลน E-8 เปรียบเทียบกับพลาสมิด pUC18 บนอะกาโรสเจล

- | | | |
|---------|---|--------------------------------|
| ช่องที่ | 1 | λ DNA/ <i>Hind</i> III |
| | 2 | พลาสมิดพาหะ pUC18 |
| | 3 | รีคอมบิแนนท์พลาสมิด pPC1 |



รูปที่ 3.19 ภาพแสดงขนาดของชิ้นส่วนดีเอ็นเอที่มีไรแลนเดซิน (DNA insert) ในรีคอมบิแนนท์พลาสมิด pPC1 เมื่อตัดด้วยเอนไซม์รีstriction เอ็นไซม์ *EcoRI* และ *HindIII* บนอะกาโรสเจล

- | | | |
|---------|---|---|
| ช่องที่ | 1 | λ DNA/ <i>HindIII</i> |
| | 2 | พลาสมิดพาหะ pUC18 |
| | 3 | พลาสมิดพาหะ pUC18/ <i>BamHI</i> |
| | 4 | รีคอมบิแนนท์พลาสมิด pPC1/ <i>HindIII</i> |
| | 5 | รีคอมบิแนนท์พลาสมิด pPC1/ <i>EcoRI</i> |
| | 6 | รีคอมบิแนนท์พลาสมิด pPC1/ <i>EcoRI</i> และ <i>HindIII</i> |